## 酸化物系超電導材の接合に関する基礎研究

豊 橋 技 術 科 学 大 学 院 豊 橋 技 術 科 学 大 学 〇曽川 拓歩

四方 真司

福本 昌宏

梅本

岡根

拫 功

実

Solid State Bonding between YBa<sub>2</sub>Cu<sub>3</sub>O<sub>7-9</sub> Superconductors by Takuho Sogawa, Shinji Shikata, Masahiro Fukumoto, Minoru Umemoto and Isao Okane

## 1. 緒言

313

酸化物超電導体皮膜材及び線材等が各種加工法により試作されつつある。 但し超電導部材の作成は多段階 長時間の正確な熱処理を必要とし、 また超電導材料は極めて脆性的であるために、 例えば長さを要求される線材等において半無限長部材の作成は極めて困難であり、 超電導材料間または超電導 - 常電導材料間での接合が不可避である。 この接合技術の確立は実用段階での超電導部材補修の点からも不可欠で

あり、 同部材の真の実用化にはこの点に関する系統的な研究が急務と考えられる。

本研究の目的は、バルク状酸化物超電導部材の接合方法を確立するとともに、同超電導材料の接合性に関与する因子及びその影響に対する基礎的知見を得ることにある。

## 2. 供試材料及び実験方法

接合に用いた焼結体は、Y2O3、BaCO3およびCuO各粉末をYBa2Cu3の組成になるように混合し、仮焼結、粉砕、加圧成形後本焼結を施すことにより得た。その手順Fig. 1に示す。これらの焼結体試料を用いて、Fig. 2に示す粉末を介在させる加圧接合法(以下これを単に粉末法と称

溶接学会全国大会講演概要 第45集 ('89-9)

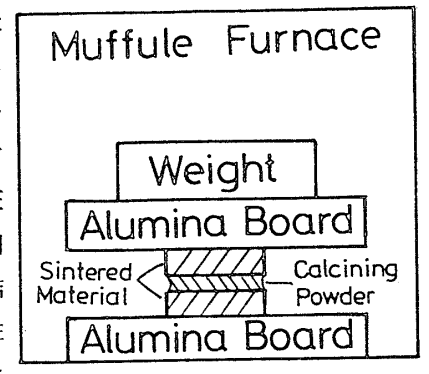


Fig. 2 Schematic diagram of powder bonding

212

Material Powders Y₂O₃ BaCO₃ CuO Dry Mixing 86.4ks Calcinin9 in Air 1203 K 36ks Annealing O2 flow 72ks 673K Pulverizing <53 µm 0.5qFormin<sub>9</sub> 320MPa 180s in Air Sinterin9 36ks 1203 K Annealing O<sub>2</sub> flow 673K 72ks YBa<sub>2</sub>Cu<sub>3</sub>O<sub>7-y</sub> Sintered Material

Fig. 1 Flow chart of sintered material preparation

断面観察および引っ張り試験による接合強度測定により評価した。

## 3. 実験結果及び考察

79 kPa にて加圧した焼結体のTc およびJc値は98A/cm²および87.7K であった。 粒径53μm 以下の粉末 を用い、接合性に及ぼす加圧力の 影響を調べた結果、加圧力の大き

い ほ ど 接 合 部 は ち 密 と な り J c 値 も 向 上 し た。

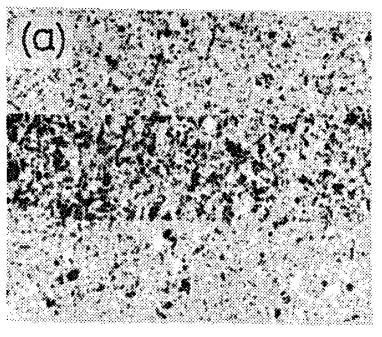
た。 また 98 k Pa の 加圧力 では 焼結体 そのものの割れが認められた。引っ張り試験によって求めた接合強度は、 加圧時間が長くなるほど大きくなり、 Fig. 5に示すように加圧力 79 k Paの下で加圧時間 36 ksの時に625 k Paを示した。

以上、 本 研究により、 粉末間のにより、 材間の たい 超電が かい で 超の がい で 後の を 一 を と が で を の は と が を で 後 を 接 を 接 で を し かい は 良 好 な か に し と が 明 か と が 明 か と な が 明 か と な っ た。

Table 1 Bonded state after various bonding conditions

		Powder Size ( µm )				
		<38	38~45	45~53	53~74	74~149
Pressure (kPa)	20	×	X <sub>1</sub>	0	<b>X</b> 1	· <b>X</b> 1
	39	0	0	0	0	X <sub>1</sub>
	79	0	0	0	0	0
	98	<b>X</b> 2	Χz	0	X2	X2

X1: not bonded, X2: broken in sintered material



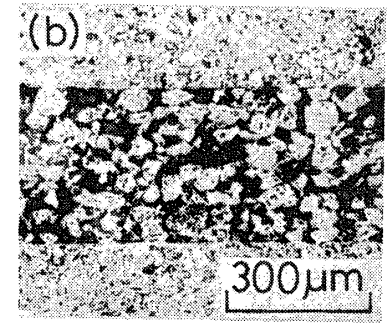


Fig. 3 Cross section of bond zone (pressure:79kPa) powder size: (a) <38 μm, (b) 53-74 μm

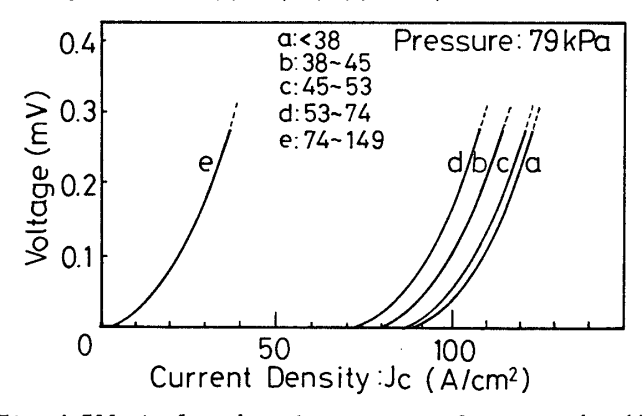


Fig. 4 Effect of powder size on critical current density

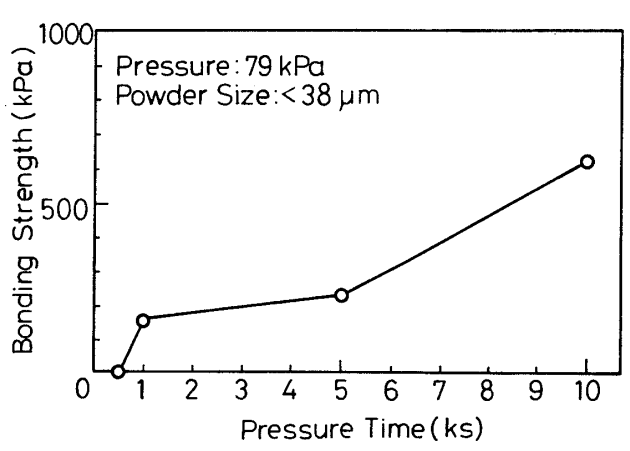


Fig. 5 Effect of pressure time on bonding strength